

**Т. Н. Борисова, Исадимана Бонифас, Л. Г. Воскресенский,
А. И. Чернышев, А. В. Варламов, А. П. Крапивко**

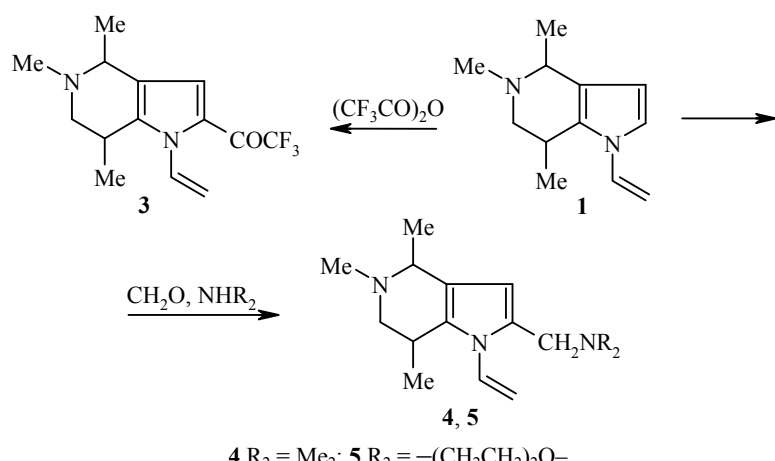
**СИНТЕЗ 2-Р-1-ВИНИЛ-4,5,6,7-ТЕТРАГИДРО-
4,5,7-ТРИМЕТИЛПИРРОЛО[3,2-*c*]ПИРИДИНОВ**

На основе 1-винил-4,5,6,7-тетрагидро-4,5,7- trimетилпирроло[3,2-*c*]пиридина и его 2-формилзамещенного производного осуществлен синтез замещенных по атому C₍₂₎ 1-винилтетрагидропирроло[3,2-*c*]пиридинов.

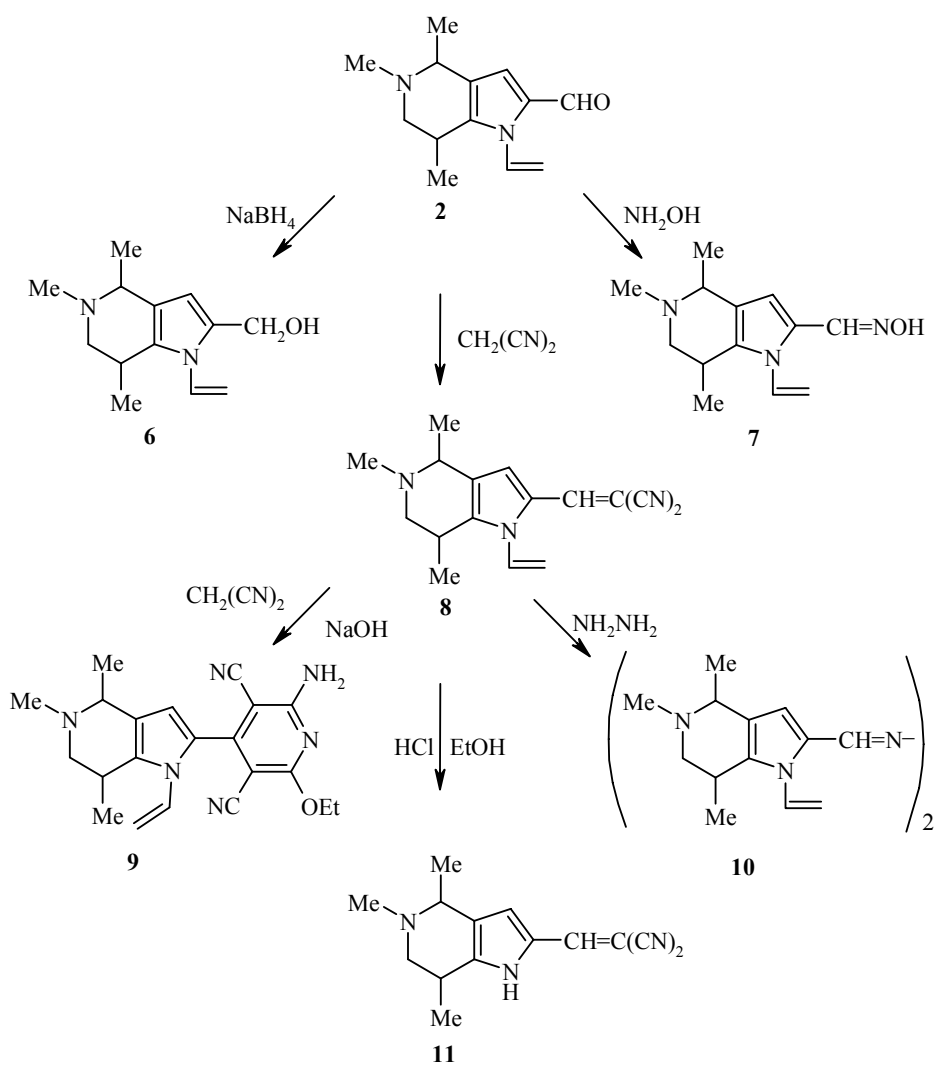
Ключевые слова: тетрагидропирролопиридин, аминометилирование, конденсация, элиминирование.

N-Винилпирролы достаточно хорошо изучены [1]. Однако их структурные аналоги 1-винилтетрагидропирроло[3,2-*c*]пиридины практически не исследованы. Показано лишь, что формилирование и нитрование 1-винил-4,5,6,7-тетрагидро-4,5,7- trimетилпирроло[3,2-*c*]пиридина (**1**) протекает в α -положение пиррольного кольца с образованием 2-формил- и 2-нитропроизводных [2, 3]. Между тем замещенные по пиррольному кольцу тетрагидропирроло[3,2-*c*]пиридины интересны в качестве антиагрегационных соединений [4], синтонов для получения полимеров и более сложных структур, содержащих фрагмент тетрагидропирролопиридина. В настоящем сообщении представлены результаты работ по синтезу замещенных по положению 2 1-винил-4,5,6,7-тетрагидро-4,5,7- trimетилпирроло[3,2-*c*]пиридинов на основе N-винилтетрагидропирролопиридина **1** [3] и его 2-формилзамещенного производного **2** [2].

Трифторацетилирование соединения **1** в хлористом метилене в присутствии пиридина и его аминометилирование по Манниху протекают по α -положению пиррольного кольца, давая с высоким выходом 2-трифторацетил-, 2-N,N-диметиламинометил- и 2-N-морфолилметилзамещенные производные **3–5**.

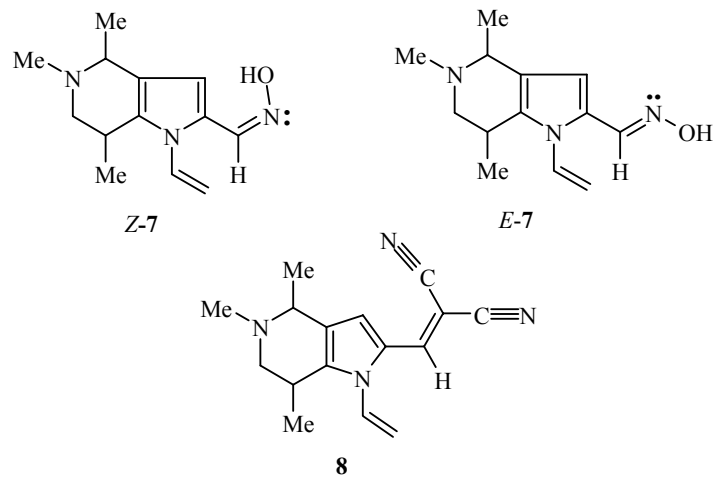


Вторая группа замещенных по положению 2 тетрагидропирроло[3,2-*c*]-пиридинов получена в результате трансформации формильной группы 2-формилзамещенного производного **2**. Осуществлены реакции восстановления, конденсации с гидроксилином и малононитрилом. Все превращения протекают почти с количественным выходом с образованием 2-гидроксиметил-, 2-гидроксииминометил- и 2- β,β -дициановинилзамещенных производных **6–8** соответственно. В результате превращений соединения **8** также был получен ряд новых замещенных тетрагидропирроло[3,2-*c*]пиридинов. Его конденсация с малононитрилом в присутствии NaOH [5] приводит к 2-(2'-этокси-3',5'-дициано-6'-аминопиридин-4-ил)-4,5,6,7-тетрагидро-4,5,7-trimетилпирроло[3,2-*c*]пиридину (**9**), полученному с выходом 15%. При действии гидрата гидразина на соединение **8** происходит эlimинирование дицианометиновой группы, в результате чего образуется азин **10**. В условиях кислого сольволиза происходит N-девинилирование соединения **8** до NH-тетрагидропирролопиридина **11**. Девинилирование N-винилпирролов в условиях кислого гидролиза описано в [6].



Строение соединений **3–11** подтверждено данными ИК, ЯМР ^1H и масс-спектров. В масс-спектрах всех соединений наблюдаются пики молекулярных ионов, как правило низкой интенсивности, соответствующих их брутто-формулам. Основное направление распада ионов $[\text{M}]^+$ связано с элиминированием метильной группы. Фрагментные ионы $[\text{M} - 15]^+$ имеют максимальную интенсивность в масс-спектрах всех соединений. ИК спектры соединений **3–10** характеризуются наличием узкой интенсивной полосы валентных колебаний группы $\text{N}-\text{CH}=\text{CH}_2$ в области $1637\text{--}1670\text{ cm}^{-1}$ [1]. В ИК спектрах соединений **7** и **10** иминная связь $\text{C}=\text{N}$ обусловливает полосу валентных колебаний при 1625 и 1615 cm^{-1} , соответственно, а ассоциированная связь NH в соединениях **9**, **11** – широкую полосу, соответственно, с максимумом 3400 и 3150 cm^{-1} . Кроме того, за счет функциональных групп появляются соответствующие характеристические полосы в ИК спектрах тетрагидропирролопиридинов: $1670\text{--}1690\text{ cm}^{-1}$ COCF_3 (соединение **3**), 3348 и 3320 OH (соединения **6** и **7**), $2220\text{--}2310\text{ cm}^{-1}$ CN (соединения **8**, **9**, **11**). В спектрах ЯМР ^1H соединений **3–11** (таблица) имеются сигналы всех протонов молекул с соответствующими химическими сдвигами и КССВ. Протоны N -вinyльной группы наблюдаются в виде трех групп сигналов с химическими сдвигами δ $4.65\text{--}5.33$ (H-транс), $4.89\text{--}5.61$ (H-цик) и $6.78\text{--}7.33$ м. д. (H-x) и вицинальными КССВ $^3J_{\text{транс}} = 15.6\text{--}16.2$ и $^3J_{\text{цик}} = 8.2\text{--}9.2$ Гц. Сигнал протона H-3 в спектрах ЯМР ^1H соединений **4–10** наблюдается в виде синглета, а в спектрах соединений **3** и **11** в виде квартета и уширенного синглета за счет спин-спинового взаимодействия с атомами фтора и H-N соответственно.

Оксим **7** образуется в виде смеси двух изомеров (соотношение 2:3), на что указывает наличие в его спектре ЯМР ^1H двух сигналов от каждого из протонов. Прежде всего следует отметить большую разницу в химических сдвигах протонов H-3 , которая составляет 0.85 м. д., тогда как эта разница для изомеров незамещенного по пиррольному азоту 2-гидроксииминометил-4,5,6,7-тетрагидро-4,5,7- trimетилпирроло[3,2-*c*]пиридина составляла всего лишь 0.08 м. д. [2]. Эти данные позволяют полагать, что вследствие стерических взаимодействий N -вinyльной группы и азометинового фрагмента изомеры оксима **7** имеют *s-цик*-расположение пиррольного кольца и связи $\text{C}=\text{N}$.



Спектры ЯМР ^1H 2-замещенных тетрагидропирроло[3,2-*c*]пиридинов 3–11

Соединение	Химические сдвиги, δ , м. д. (J , Гц)									
	H-3	H-4	H-6	H-7, м	CH ₃ -4, д	CH ₃ -5, с	CH ₃ -7, д	CH _x =CH _u H _r		
								H- <i>cис</i>	H- <i>транс</i>	H _x , д. д
3	7.00, к ($J=0.9$)	3.31, к ($J=6.4$)	2.25, д. д ($J=11.9, J=8.5$); 3.10, д. д ($J=11.9, J=5.8$)	3.30	1.34 ($J=6.4$)	2.44	1.21 ($J=6.4$)	5.31, д ($J=8.5$)	5.27, д ($J=15.9$)	7.33 ($J=15.9, J=8.5$)
4	5.81, с	3.15–3.32, к ($J=6.4$)	2.18, д. д ($J=11.3, J=7.9$); 3.03, д. д ($J=11.3, J=5.5$)	3.15–3.32	1.26 ($J=6.4$)	2.41	1.18 ($J=6.4$)	4.89, д ($J=8.9$)	5.22, д ($J=15.9$)	6.96 ($J=15.9, J=8.9$)
5	5.82, с	3.00–3.30, к ($J=6.4$)	2.20, д. д ($J=11.6, J=7.6$); 3.03, д. д ($J=11.6, J=5.8$)	3.00–3.30	1.25 ($J=6.4$)	2.41	1.19 ($J=6.7$)	4.90, д ($J=9.2$)	5.31, д ($J=16.2$)	6.98 ($J=16.2, J=9.2$)
6	5.95, с	3.27, к. д ($J=6.4, J=1.5$)	2.20, д. д ($J=11.6, J=7.6$); 3.02, д. д ($J=11.6, J=5.5$)	3.15	1.26 ($J=6.4$)	2.40	1.20 ($J=6.4$)	4.98, д ($J=8.9$)	5.33, д ($J=15.9$)	6.90 ($J=15.9, J=8.9$)
<i>E</i> - 7	7.15, с	3.00–3.45, к ($J=6.7$)	2.20–2.30, м, 3.00–3.45, м	3.00–3.45	1.32 ($J=6.7$)	2.43	1.19 ($J=6.4$)	5.32, д ($J=8.2$)	5.23, д ($J=15.6$)	6.85 ($J=15.6, J=8.2$)
										7.44 (CH=N)

Z-7	6.30, с	3.00–3.40, к (<i>J</i> =6.4)	2.2–2.3, м; 3.0–3.45, м	3.00–3.45	1.30 (<i>J</i> =6.4)	2.43	1.19 (<i>J</i> =6.4)	5.11, д (<i>J</i> =8.5)	5.14, д (<i>J</i> =15.6)	7.09 (<i>J</i> =15.6, <i>J</i> =8.5)	8.03 (CH=N)
8	7.49, с	3.40, к (<i>J</i> =6.4)	2.29, д. д (<i>J</i> =9.5, <i>J</i> =8.9), 3.0–3.2, м	3.00–3.20	1.31 (<i>J</i> =6.4)	2.43	1.24 (<i>J</i> =6.4)	5.61, д. д (<i>J</i> =8.2, <i>J</i> =0.9)	5.29, д. д (<i>J</i> =15.6, <i>J</i> =0.9)	6.78 (<i>J</i> =15.6, <i>J</i> =8.2)	7.50 (CH=C)
9	6.46, с	3.15–3.30, к (<i>J</i> =6.1)	2.30, м 3.15–3.30, м	3.43	1.29 (<i>J</i> =6.1)	2.43	1.29 (<i>J</i> =6.1)	4.94, д (<i>J</i> =8.9)	4.65, д (<i>J</i> =15.6)	6.95 (<i>J</i> =15.6, <i>J</i> =8.9)	1.42 т, 4.44 (кв, EtO), 5.50 (NH ₂)
10	6.60, с	3.30, к (<i>J</i> =6.7)	2.25, д. д (<i>J</i> =11.6, <i>J</i> =7.9), 3.05, д. д (<i>J</i> =11.6, <i>J</i> =5.8)	3.20–3.30	1.31 (<i>J</i> =6.7)	2.42	1.22 (<i>J</i> =6.4)	5.17, д (<i>J</i> =8.5)	5.19, д (<i>J</i> =15.9)	7.33 (<i>J</i> =15.9, <i>J</i> =8.5)	8.49 (CH=N)
11	6.66 , ущ. с	3.19, к (<i>J</i> =6.4)	2.27, д. д (<i>J</i> =11.6, <i>J</i> =10.1), 3.03, д. д (<i>J</i> =11.6, <i>J</i> =5.5)	3.19	1.36 (<i>J</i> =6.4)	2.44	1.25 (<i>J</i> =6.7)	—	—	—	7.32 (CH=C), 9.43 (ущ. с, NH)

Для установления конфигурации изомеров оксима **7** мы использовали значения химического сдвига азометинового протона $\text{HC}=\text{N}$, который при *cis*-расположении неподеленной пары электронов атома азота испытывает слабопольный сдвиг [7], а также значения химического сдвига протона H-3, который также должен испытывать влияние этой пары при *s-cis*-конфигурации оксима. На основании этого изомеру с более слабопольным сигналом азометинового протона $\text{HC}=\text{N}$ и более сильнопольным сигналом протона H-3 была приписана *Z*-конфигурация, а изомеру с сильнопольным сигналом $\text{HC}=\text{N}$ и слабопольным сигналом H-3 – *E*-конфигурация. Соотношение *Z*- и *E*-изомеров составляло 2:3. Аналогичное слабопольное смещение на 0.83 м. д. сигнала H-3 в спектре ЯМР ^1H 1-винил-2- β -дициановинилтетрагидропирроло[3,2-*c*]пиридина **8**, по сравнению с его незамещенным по пиррольному атому азота аналогом **11**, позволяет сделать вывод о *s-cis*-конфигурации пиррольного и дициановильного фрагментов в соединении **8**.

Таким образом, нами осуществлен синтез новых по типу заместителей 1-винилтетрагидропирроло[3,2-*c*]пиридинов и на основании спектров ЯМР ^1H сделано предположение о стерическом взаимодействии 1-N-ви-нильной группы с заместителями в положении 2, что и определяет конформационное расположение заместителей и пиррольного кольца.

ЭКСПЕРИМЕНТАЛЬНАЯ ЧАСТЬ

ИК спектры получали на спектрометре IR-75 в таблетках KBr (для кристаллических веществ) или в пленке (для жидкостей). Масс-спектры регистрировали на приборе Varian MAT-112 с прямым вводом образца в источник ионов, ионизирующее напряжение 70 эВ. Спектры ЯМР ^1H ~3% растворов синтезированных веществ в CDCl_3 регистрировали при 30 °C на приборе Bruker WP-200 (200 МГц). Химические сдвиги измеряли относительно внутреннего стандарта ТМС. Для ТСХ использовали пластины Alufol и Silufol UV-254 (проявление парами иода), для колоночной хроматографии – Al_2O_3 II ст. акт. по Брокману.

1-Винил-2-трифторацетил-4,5,6,7-тетрагидро-4,5,7- trimetilpirrollo[3,2-*c*]пиридин (3**).** К раствору 0.15 г (0.79 ммоль) N-винилпирролопиридина **1** и 0.07 г (0.9 ммоль) пиридина в 5 мл CH_2Cl_2 при 5 °C добавляют по каплям 0.66 г (3.2 ммоль) трифторуксусного ангидрида в 2 мл CH_2Cl_2 . Реакционную смесь нагревают до 30 °C и выдерживают до завершения реакции (контроль ТСХ). Охлаждают, подщелачивают 10% раствором соды до pH 8, экстрагируют эфиrom, экстракт сушат над MgSO_4 . Остаток после отгонки эфира очищают на колонке (1.2 × 17 см), элюент этилацетат–гексан, 2 : 1. Получают 0.1 г (48%) соединения **3**. Желтое масло, R_f 0.34 (Silufol, спирт). ИК спектр, ν , cm^{-1} : 1642 (N–CH=CH₂), 1670 (CO). Масс-спектр, m/z ($I_{\text{отн.}}$, %): 286 [M^+] (0.5), 271 (100), 255 (15), 243 (8), 228 (23), 174 (7), 132 (5), 131 (9), 42 (7). Найдено, %: C 58.53; H 6.01; N 9.45. M^+ 286. $C_{14}\text{H}_{17}\text{F}_3\text{N}_2\text{O}$. Вычислено, %: C 58.74; H 5.94; N 9.79. M 286.

1-Винил-2-N,N-диметиламинометил-4,5,6,7-тетрагидро-4,5,7-trimetilpirrollo[3,2-*c*]пиридин (4**).** Смешивают 0.4 г (2.1 ммоль) соединения **1**, 0.28 г (6.3 ммоль) диметиламина (33% водный раствор), 0.19 г (6.3 ммоль) формальдегида (40% водный раствор), 0.25 г (4.2 ммоль) уксусной кислоты и 10 мл метанола при -7 °C. Нагревают до 20 °C и выдерживают до окончания реакции (контроль ТСХ). Остаток после отгонки метанола подщелачивают 10% раствором NaOH до pH 8, экстрагируют эфиrom, экстракт сушат MgSO_4 . Остаток после отгонки эфира очищают на колонке (1.2 × 15 см), элюент этилацетат–гексан, 5 : 1. Получают 0.39 г (75%) соединения **4**. Желтое масло, R_f 0.32

(Alufol, этилацетат–гептан, 1 : 4). ИК спектр, ν , см^{-1} : 1650 (N–CH=CH₂). Масс-спектр, m/z ($I_{\text{отн.}}$, %): 247 [M]⁺ (3.5), 232 (100). Найдено, %: C 72.31; H 10.00; N 16.85. M⁺ 247. C₁₅H₂₅N₃. Вычислено, %: C 72.87; H 10.12; N 17.00. M 247.

2-(N-Морфолилметил)-1-винил-4,5,6,7-тетрагидро-4,5,7-trimетилпирроло[3,2-*c*]пиридин (5). По описанной выше методике из 0.19 г (1 ммоль) соединения 1, 0.17 г (2.1 ммоль) морфолина, 0.06 г (2.1 ммоль) формальдегида (40% водный раствор), 0.25 г (4.2 ммоль) уксусной кислоты в 8 мл метанола получают 0.24 г (80%) соединения 5. Желтое масло, R_f 0.35 (Alufol, этилацетат–гептан, 1 : 4). ИК спектр, ν , см^{-1} : 1640 (N–CH=CH₂). Масс-спектр, m/z ($I_{\text{отн.}}$, %): 289 [M]⁺ (2.5), 274 (100), 203 (10), 187 (14), 161 (17), 160 (31), 146 (16), 144 (12), 94 (17), 86 (10), 77 (15), 56 (21), 42 (23), 41 (13). Найдено, %: C 70.10; H 9.20; N 14.25. M⁺ 289. C₁₇H₂₇N₃O. Вычислено, %: C 70.59; H 9.34; N 14.53. M 289.

1-Винил-2-гидроксиметил-4,5,6,7-тетрагидро-4,5,7-trimетилпирроло[3,2-*c*]пиридин (6). К раствору 0.3 г (1.37 ммоль) соединения 2 в 15 мл этанола прибавляют 0.21 г (5.7 ммоль) NaBH₄. Через 5 ч (контроль ТСХ) спирт отгоняют в вакууме, прибавляют 10 мл воды, экстрагируют эфиром (4 × 20 мл), экстракт сушат MgSO₄. После отгонки эфира получают 0.27 г (90%) соединения 6. Бесцветное масло, R_f 0.53 (Alufol, этилацетат–гептан, 1 : 4). ИК спектр, ν , см^{-1} : 1635 (N–CH=CH₂), 3348 (OH). Масс-спектр, m/z ($I_{\text{отн.}}$, %): 220 [M]⁺ (6), 205 (100). Найдено, %: C 70.57; H 8.80; N 13.10. M⁺ 220. C₁₃H₂₀N₂O. Вычислено, %: C 70.91; H 9.10; N 12.73. M 220.

1-Винил-2-гидроксиминометил-4,5,6,7-тетрагидро-4,5,7-trimетилпирроло[3,2-*c*]пиридин (7). Раствор 0.3 г (1.37 ммоль) соединения 2, 0.19 г (2.75 ммоль) гидрохлорида гидроксиламина и 0.54 г (4.2 ммоль) ацетата натрия в 15 мл этанола кипятят 3 ч (контроль ТСХ). К остатку после отгонки спирта прибавляют 20 мл воды, экстрагируют хлороформом, экстракт сушат MgSO₄. Хлороформ отгоняют, остаток кристаллизуют из смеси этилацетата с гептаном. Получают 0.29 г (91%) соединения 7. Белые кристаллы, т. пл. 140–142 °C, R_f 0.34 (Alufol, этилацетат–гептан, 2 : 1). ИК спектр, ν , см^{-1} : 1627 (C=N), 1637 (N–CH=CH₂), 3250 (OH). Масс-спектр, m/z ($I_{\text{отн.}}$, %): 233 [M]⁺ (5), 218 (100). Найдено, %: C 67.21; H 7.92; N 17.83. M⁺ 233. C₁₃H₁₉N₃O. Вычислено, %: C 66.95; H 8.15; N 18.02. M 233.

1-Винил-2-(2',2'-дициановинил)-4,5,6,7-тетрагидро-4,5,7-trimетилпирроло[3,2-*c*]пиридин (8). Кипятят 0.5 ч раствор 0.3 г (1.37 ммоль) соединения 2 и 0.09 г (1.37 ммоль) динитрила малоновой кислоты в 15 мл этанола (контроль ТСХ). Остаток после отгонки этанола кристаллизуют из смеси гептана с этилацетатом. Получают 0.33 г (90%) соединения 8. Желтые кристаллы, т. пл. 96–98 °C, R_f 0.52 (Alufol, этилацетат–гептан, 1:1). ИК спектр, ν , см^{-1} : 1637 (N–CH=CH₂), 2232 (CN). Масс-спектр, m/z ($I_{\text{отн.}}$, %): 266 [M]⁺ (3), 251 (100). Найдено, %: C 72.31; H 7.01; N 21.12. M⁺ 266. C₁₆H₁₈N₄. Вычислено, %: C 72.18; H 6.77; N 21.05. M 266.

1-Винил-2-(2'-этокси-3',5'-дициано-6'-аминопиридин-4-ил)-4,5,6,7-тетрагидро-4,5,7-trimетилпирроло[3,2-*c*]пиридин (9). Кипятят 1 ч раствор 0.16 г (0.6 ммоль) соединения 8, 0.4 г (0.6 ммоль) динитрила малоновой кислоты и 0.01 г (0.25 ммоль) NaOH в 10 мл этанола (контроль ТСХ). Остаток после отгонки этанола кристаллизуют из этилацетата. Получают 0.04 г (15%) соединения 9. Желтые кристаллы, т. пл. 125–126 °C, R_f 0.52 (Alufol, этилацетат). ИК спектр, ν , см^{-1} : 1647 (N–CH=CH₂), 2200 (CN), 3210 (NH₂). Масс-спектр, m/z ($I_{\text{отн.}}$, %): 376 [M]⁺ (1), 361 (100), 333 (15), 42 (12). Найдено, %: C 66.85; H 6.08; N 22.01. M⁺ 376. C₂₁H₂₄N₆O. Вычислено, %: C 67.02; H 6.38; N 22.34. M 376.

N,N'-Бис(1-винил-4,5,6,7-тетрагидропирроло[3,2-*c*]пиридин-2-илметилен)гидразин (10). Кипятят 0.5 ч раствор 0.2 г (0.75 ммоль) соединения 8 и 0.056 г (1.1 ммоль) гидразингидрата в 14 мл метанола (контроль ТСХ). Метанол отгоняют, прибавляют 20 мл воды и экстрагируют эфиром (4 × 30 мл). Экстракт сушат MgSO₄. Остаток после отгонки эфира кристаллизуют из смеси гептана с этилацетатом. Получают 0.12 г (75%) соединения 10, желтые кристаллы, т. пл. 190–192 °C, R_f 0.45 (Alufol, этилацетат–гептан, 1 : 2). ИК спектр, ν , см^{-1} : 1615 (C=N), 1637 (N–CH=CH₂). Масс-спектр, m/z ($I_{\text{отн.}}$, %): 432 [M]⁺ (42), 417 (100), 241 (15), 216 (12), 201 (45), 200 (62), 186 (48), 173 (96), 159 (21), 158 (20), 157 (21), 144 (15), 132 (8), 131 (9), 130 (10), 42 (19). Найдено, %: C 71.92; H 8.80; N 19.10. M⁺ 432. C₂₆H₃₆N₆. Вычислено, %: C 72.22; H 8.33; N 19.44. M 432.

2-(2',2'-Дициановинил)-4,5,7-триметил-4,5,6,7-тетрагидро-1Н-пирроло[3,2-*c*]пиридин (11). Раствор 0.15 г (0.56 ммоль) соединения **8** и 25 капель конц. HCl в 3 мл этанола выдерживают при 20 °C до окончания реакции (контроль ТСХ). Подщелачивают раствором соды до pH 8–9, экстрагируют хлороформом, экстракт сушат MgSO₄. Остаток после отгонки хлороформа очищают на колонке (1.5 × 18 см). Элюент этилацетат–гептан, 1 : 2. Получают 0.03 г (21%) соединения **11**, белые кристаллы, т. пл. 122–123 °C, *R*_f 0.33 (Alufol, этилацетат). ИК спектр, ν , см⁻¹: 2310 (CN), 3250 (NH). Масс-спектр, *m/z* (*I*_{отн.}, %): 240 [M]⁺ (10), 225 (100), 223 (12), 209 (12), 197 (48), 182 (35), 112 (10), 42 (25), 41 (32), 40 (52). Найдено, %: C 70.32; H 6.53; N 23.70. M⁺ 240. C₁₄H₁₆N₄. Вычислено, %: C 70.00; H 6.67; N 23.33. M 240.

Исследования выполнены при поддержке РФФИ (грант № 02-03-32941).

СПИСОК ЛИТЕРАТУРЫ

1. Б. А. Трофимов, А. И. Михалева, *N-Винилпирролы*, Наука, Новосибирск, 1984.
2. А. В. Варламов, Т. Н. Борисова, А. Э. Алиев, И. А. Стажарова, А. А. Синицына, Е. А. Сахнова, *ХГС*, 681 (1993).
3. Т. Н. Борисова, И. А. Стажарова, А. Э. Алиев, Н. С Простаков, А. В. Варламов, *ХГС*, 1375 (1991).
4. C. Altomare, L. Summo, S. Cellamare, A. V. Varlamov, L. G. Voskresenskii, T. N. Borisova, A. Carotti, *Bioorg. Chem. Lett.*, 581 (2000).
5. L. Fuentes, J. L. Soto, *An. Quim.*, **73**, 1349 (1977).
6. Б. А. Трофимов, С. Е. Коростова, А. И. Михалева, Л. Н. Собенина, А. Н. Васильев, *ХГС*, 1631 (1982).
7. А. Э. Алиев, Дис. канд. хим. наук, Москва, 1988.

Российский университет дружбы народов,
Москва 117198
e-mail: avarlamov@sci.psu.edu.ru

Поступило в редакцию 25.09.2002